

тропной вторичной экстинкции в формализме Беккера-Коппенса (тип 1) при лазерном возбуждении кристалла. Величина разориентации блоков мозаики увеличивалась от 5.1(13)" для необлучаемого образца до 8 5(8)" в случае облучения.

На основании полученных результатов можно предположить, что увеличение интенсивности отражений связано с эффектом „optical damage“ в  $LiNbO_3(Fe)$  [1, 6]. Подробные результаты рентгеноструктурного исследования будут опубликованы отдельно.

### Список литературы

- [1] Кузьминов Ю.С. Электрооптический и нелинейнооптический кристалл ниобата лития. М.: Наука, 1987. 263 с.
- [2] Armov N.A., Voronov V.V., Kuz'minov Yu.S. // Ferroelectrics. 1978. V. 22. N 1-2. P. 649-650.
- [3] Fujimoto I. // Acta Cryst. 1982. V. A38. N 3. P. 337-345.
- [4] Асланов Л.А. Инstrumentальные методы рентгеноструктурного анализа М.: МГУ. 1983. 288 с.
- [5] Aslanov L.A., Trunov V.A., Fetisov G.V., Priemyshhev V.A., Rybakov V.B., Kasman Ya.A., Bulkin A.P. // J. Appl. Crystallogr. 1989. V. 22. N 1.
- [6] Ashkin A., Boyd G.D., Dziedzic J.M., Snuth R.G., Ballmann A.A., Levinstein J.J., Nassau K. // Appl. Phys. Lett. 1966. V. 9. N 1. P. 72-74.

Московский государственный  
университет им. М.В. Ломоносова

Поступило в Редакцию  
7 марта 1989 г.

Письма в ЖТФ, том 15,

06; 08

БРЭГГОВСКАЯ ДИФРАКЦИЯ РЕНТГЕНОВСКОГО ИЗЛУЧЕНИЯ  
В МОНОКРИСТАЛЛЕ НИОБАТА ЛИТИЯ  
В ПРИСУТСТВИИ СТОЯЧЕЙ ПОВЕРХНОСТНОЙ  
АКУСТИЧЕСКОЙ ВОЛНЫ

Л.А. Коcharian, Р.Р. Сукиасян,  
Х.С. Меграбян, Т.В. Саркисян

Воздействие поверхности акустической волны (ПАВ) на дифракцию рентгеновского излучения в монокристаллах ниобата лития

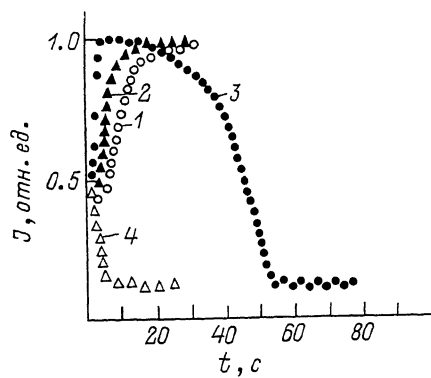


Рис. 1. Изменение интенсивности дифрагированного рентгеновского излучения в зависимости от времени открывания каналов анализатора импульсов при различных амплитудах ПАВ (величины напряжения на преобразователе): 1 -  $U = 5$  В, 2 -  $U = 15$  В, 3 и 4 -  $U = 20$  В.

распространяющаяся на подложке из ниобата лития. В работах [2, 3] экспериментально рассмотрены вопросы управления параметрами дифрагированного рентгеновского излучения в пространстве и во времени с помощью бегущей и стоячей ПАВ. Исследования в этом направлении весьма актуальны, так как позволяют уточнить механизм воздействия ПАВ на рентгеновскую дифракцию и разработать метод рентгеновской топограммы для исследования профилей ПАВ и преобразователей на ПАВ.

В качестве преобразователя ПАВ использована прямоугольная пластина из ниобата лития  $yz$ -среза. На поверхности кристалла напылены два симметричных преобразователя, расстояние между которыми равно 14 мм. Преобразователи представляют из себя электроды в виде вложенных друг в друга гребешков. Шаг между соседними электродами  $\lambda/2 = 0.87$  мм, где  $\lambda$  - длина акустической волны. Пространственный шаг электродов и скорость ПАВ в кристалле ниобата лития ( $V = 3488$  мм/с) определяют частоту резонанса ( $f_{рез} = 2$  МГц), при котором электрический сигнал наиболее эффективно преобразуется в ПАВ.

Монохроматический рентгеновский пучок от трубки с молибденовым анодом направляется на кристалл-преобразователь под углом Брэгга и дифрагированное в геометрии Брэгга излучение регистрируется сцинтиляционным детектором. Размеры рентгеновского пучка в направлении распространения ПАВ ( $l = 0.14$  мм) меньше длины акустической волны для данного случая ( $\lambda = 1.74$  мм). Импульсы от сцинтиляционного детектора анализируются многоканальным анализатором, работающим во временном режиме. С помощью напряжения ( $U$ ), приложенного одновременно к двум симметричным преобразователям, в монокристалле ниобата лития создается результирующая стоячая ПАВ и измеряется интенсивность дифрагированного от атомной плоскости (006) рентгеновского излучения  $J_{диф}$  в зависимости от  $U$ .

На рисунке 1 приведен график изменения интенсивности дифрагированного рентгеновского излучения при различных амплитудах ПАВ (величины напряжения  $U$  на преобразователе) в зависимости

и кварца изучено в работах [1-3]. В работе [1] методом рентгеновской съемки „на отражение“ визуализирована ПАВ,

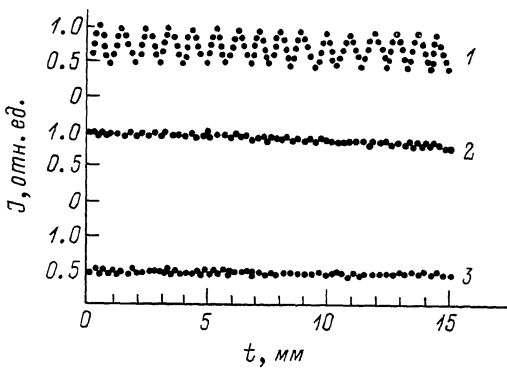


Рис. 2. Топограмма поверхности кристалла в направлении распространения ПАВ: 1 – при стоячей ПАВ, 2 – при бегущей ПАВ, 3 – при отсутствии ПАВ.

от начала времени включения ПАВ. Как видно из кривых 1, 2 интенсивность дифракции при напряжениях до 20 В увеличивается со временем и докладывает до насыщения. При  $U = 20$  В и выше (кривая 3) интенсивность дифракции в зависимости от времени возрастает до некоторого значения, а затем уменьшается, становясь меньше, чем в отсутствии ПАВ. Ход кривой 4 соответствует случаю, когда рентгеновский пучок направляется на кристалл после некоторой задержки от начала времени включения ПАВ.

Для полихроматического рентгеновского пучка такое явление не наблюдается и изменение  $J_{\text{диф}}$  в зависимости от времени аналогично кривой 1 и 2.

Наблюдаемое явление (кривая 3) не связано с временной флюктуацией интенсивности падающего на монокристалл рентгеновского излучения и объясняется тем, что при возбуждении ПАВ большой амплитуды ( $U > 20$  В) поверхность кристалла деформируется настолько, что нарушается условие брэгговского отражения, вследствие чего и наблюдается уменьшение интенсивности дифрагированного излучения.

Таким образом, деформации поверхности кристалла под действием стоячей ПАВ приводят к изменению интенсивности дифрагированного рентгеновского излучения  $J_{\text{диф}}$ : до определенной величины деформации ( $U < 20$  В)  $J_{\text{диф}}$  увеличивается за счет того, что в брэгговском отражении начинает участвовать большая часть излучения, а при ( $U > 20$  В) большая деформация нарушает условие брэгговского отражения для значительной части излучения.

Чувствительность интенсивности дифракции рентгеновского излучения к деформации поверхности кристалла видна и на рисунке 2, где приведена топограмма поверхности кристалла в отсутствии ПАВ (кривая 3), в присутствии бегущей ПАВ (кривая 2) и в присутствии стоячей ПАВ (кривая 1). Как видно из рис. 2, изменение ин-

тенсивности дифрагированного рентгеновского излучения при стоячей ПАВ повторяет форму волны. Для бегущей волны этого не наблюдается, так как картина усредняется во времени. Для получения топограммы образец перемещался со скоростью  $5.5 \cdot 10^{-6} \pm 0.5 \cdot 10^{-6}$  м/с относительно падающего рентгеновского пучка.

Результаты проведенных исследований показывают, что изменение интенсивности дифрагированного рентгеновского пучка обусловлено деформацией поверхности кристалла, и что топограмма ПАВ рентгенодифракционным методом позволяет исследовать потери и искажения из-за дифракции ПАВ.

Авторы выражают благодарность А.Р. Мкртчяну за постоянное внимание к работе и обсуждение ее результатов.

#### Список литературы

- [1] Аджамов А.А., Шкляр А.Н., Бондаренко В.С., Слуцкий Л.М., Орлов В.С. // ФТТ. 1981, Т. 23. № 6. С. 1689–1693.
- [2] Мкртчян А.Р., Сукиасян Р.Р., Борназян А.С., Габриелян Р.Г. // Изв. АН АрмССР. Физика. 1986. Т. 21. № 6. С. 320–323.
- [3] Kocharyan L.A., Sukiasyan R.R., Borna-  
zyan A.S., Beglaryan A.G., Gasparian P.A. //  
Изв. АН АрмССР. Физика. 1986. Т. 21. № 6, с. 317–320.

Институт прикладных проблем  
физики Академии наук АрмССР,  
Ереван

Поступило в Редакцию  
7 февраля 1989 г.

Письма в ЖТФ, том 15, вып. 10                    26 мая 1989 г.  
06; 08

РЕЗОНАНСНАЯ ВРЕМЕННАЯ МОДУЛЯЦИЯ  
РЕНТГЕНОВСКИХ ЛУЧЕЙ  
ПРИ ДИФРАКЦИИ В КРИСТАЛЛЕ,  
ПОДВЕРЖЕННОМ УЛЬТРАЗВУКОВЫМ КОЛЕБАНИЯМ

И.В. Поликаров

Вопросы управления пучками рентгеновских квантов во времени представляют большой практический интерес. В связи с этим в настоящее время активно экспериментально исследуются процессы модуляции рентгеновского и гамма-излучения [1–4]. В работах [1, 2] было показано, что рентгеновские лучи, испытавшие дифракцию в колеблющемся монокристалле, могут быть существенным образом промодулированы во времени. Однако до сих пор не был про-  
делан анализ зависимости глубины модуляции излучения от частоты